

I-39

緊張材の特性と配置位置がPC梁の静的耐荷挙動に及ぼす影響

三井建設(株)	正員	三上 浩
三井建設(株)	正員	田村 富雄
三井建設(株)	正員	篠崎 裕生
室蘭工業大学	正員	岸 徳光

1. はじめに

プレストレストコンクリートの緊張材として、従来のPC鋼棒、PC鋼より線に代わり連続繊維状の高分子材料(FRPロッド)を適用するための研究が数多く行われており、すでに橋梁等に実用化されている。FRPロッドは鋼材と比較して耐触性に優れているのが大きな特徴であり、コンクリートの補強材として用いる場合、かぶり等を考慮した配置位置の設定を行う際の自由度が鋼材を用いる場合と比較して大きくなる。

一方、著者らはFRPロッドが高い弾性伸び率を有し、降伏点を有しない点に着目して耐衝撃用途の構造物への適用を想定して研究を行ってきた。その結果、FRPロッドを緊張材に用いたPC梁の衝撃挙動は緊張材の位置によって異なることが分かった。したがって、緊張材の材質及び配置位置を変えた梁の静的耐荷挙動を把握しておくことが重要となる。本研究では、アラミド繊維を組紐状に成形した棒材(AFRPロッド)とPC鋼より線をプレテンショニング用PC緊張材として用いたPC梁の3点曲げ試験を、緊張材の配置位置を変えて行い静的耐荷挙動を検討した。さらに、

断面分割法による解析を行い実験結果と比較検討した。

2. 実験概要

試験体の一覧を表-1に、試験体寸法、配筋及びひずみゲージ位置を図-1に示す。PC梁はプレテンション方式で作製し、緊張材に組紐状AFRPロッドFA15.5(公称径14.7mm、保証引張耐力24.0tonf)及びPC鋼よ

表-1 試験体一覧

梁種別	緊張材の種類	緊張材の配置
P-A	PC鋼より線(T15.2B)	断面下縁近傍
P-B	"	断面下側核点
P-C	"	断面上下核点
F-A	AFRPロッド(FA15)	断面下縁近傍
F-B	"	断面下側核点
F-C	"	断面上下核点

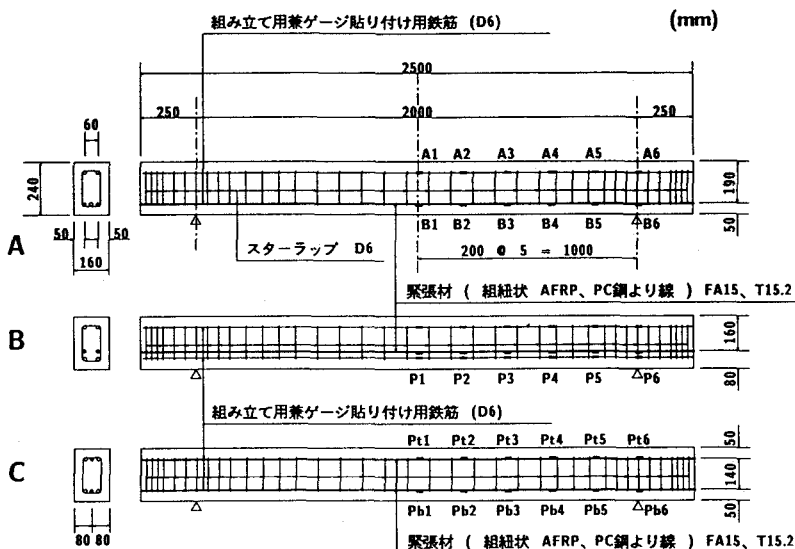


図-1 試験体概要

り線T 15.2B（公称径15.2mm、引張耐力26.6tonf）を用いた。これら緊張材の弾性係数はそれぞれ 0.7×10^6 kgf/cm²、 2.0×10^6 kgf/cm²である。緊張材位置は3種類とし(1)断面下縁近傍に2本(A梁)、(2)断面下側核点に2本(B梁)、(3)断面上下の核点位置に1本づつ(C梁)とした。また、総プレストレス量はいずれも同一とし、プレストレス応力は断面中央位置で50kgf/cm²である。

コンクリートは単位セメント量400kg/m³、スランプ8cmとしたが、各試験体で異なるバッチを用いたので強度はそれぞれ異なり、圧縮強度は487～735kgf/cm²、弾性係数は $3.05 \sim 3.71 \times 10^5$ kgf/cm²であった。

試験体は梁高さ24cm、梁幅16cm、純スパン200cmである。各試験体にはスター・ラップ(D6)をピッチ100mmで配置した。また、緊張材及び組立筋(異形棒鋼、D6)に梁中央から20cm間隔でひずみゲージを取り付け、梁軸方向のひずみ分布を測定した。試験は容量200tonfのアムスラーを用い、衝撃実験と加力状態を合わせるために直径15cmの円盤状の載荷盤を介して加力を行った。梁のたわみは、梁中央から25cm間隔で設置した変位計で測定した。

3. 実験結果

3.1 ひびわれ状況

図-2に試験体破壊時のひびわれ状況を示す。いずれの試験体も緊張材の破断ではなく、コンクリートの圧縮破壊で破壊した。P梁の方がひびわれ本数が多く見られるが、枝分かれしているひびわれや主ひびわれに近接して平行なひびわれは終局近傍で生じ、破壊直前までのひびわれ本数はP梁でもF梁でも顕著な差異は見られない。しかし、C梁は他の梁に比較して中央近傍に大きなひびわれが集中する傾向を示した。

3.2 荷重-たわみ関係

図-3に荷重と梁中央のたわみの関係を示す。いずれの荷重-たわみ関係もひびわれ発生前の弾性領域と遷移領域、及び緊張材の弾性領域から成立している。緊張材の配置位置が同じものではF梁の方がひびわれ発生荷重が小さい傾向にあり、遷移領域以

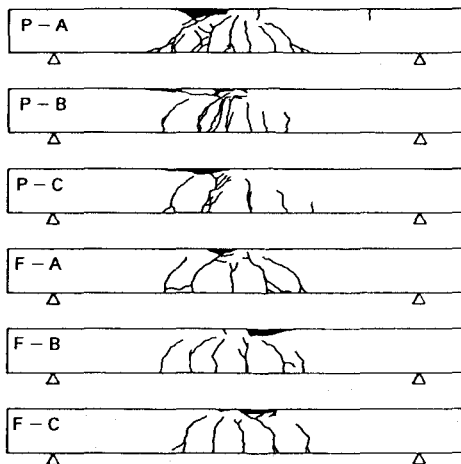


図-2 ひびわれ発生状況

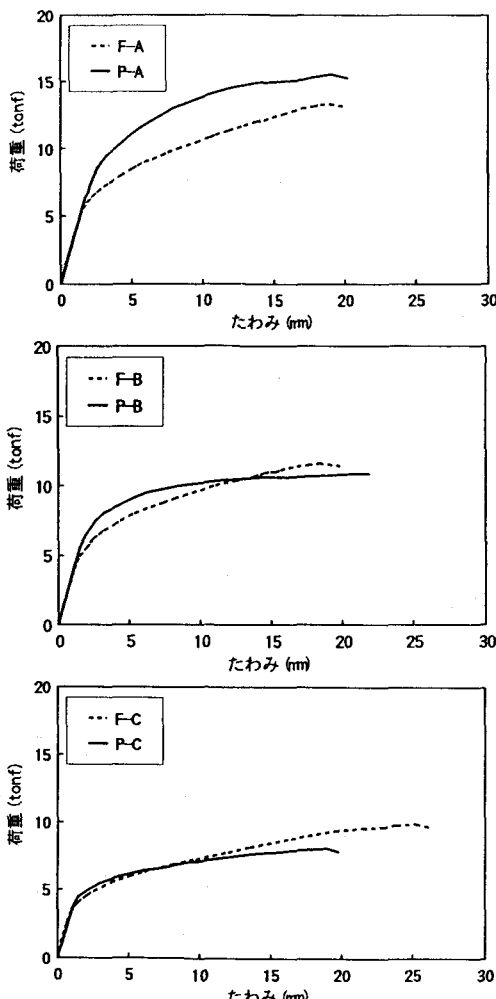


図-3 荷重-梁中央たわみ曲線

降のたわみ量は同じ荷重レベルで比較すると AFRP ロッドを用いた方が大きい。これは AFRP ロッドの弾性係数が PC 鋼より線の約 3 分の 1 で、弾性伸びが大きいことに起因している。

F 梁の方がひびわれ発生荷重が小さいものの、最大耐力は A 梁を除いて P 梁と同程度かあるいは大きくなっている。後に述べるように、F-A 梁では所定のプレストレス量が導入されていなかったために P-A 梁の荷重 - たわみ関係と差異が生じたと考えられる。最大荷重時のたわみ量は、緊張材を断面上下の核点に配置した F-C 梁が 25mm と最も大きいが、それ以外の試験体では 20mm 前後で、顕著な差は見られなかった。なお、P 梁では破壊後の梁の観察より、緊張材の抜け出しが確認された。抜け出しあは 3 試験体ともコンクリート圧縮縫の破壊損傷の大きい側（図-2 の梁中央から左側）の端面で確認されており、その大きさは P-A、P-B では 2 本の平均でそれぞれ 4.74、4.86mm、P-C では下側で 7.57mm、上側で 1.03mm であった。なお、反対側の端面では抜け出しあは生じていなかった。

3.3 たわみ分布

図-4 に荷重が 7tonf における梁のたわみ分布を示す。C 梁のたわみ分布性状が、A 梁、B 梁に比較して直線的のは、中央付近に大きなひびわれが集中したためと考えられる。同じ荷重段階では C 梁のたわみ量が最も大きく、P-C、F-C 梁の中央たわみ量は P-A、F-A 梁のそれぞれ 4.7、2.5 倍であった。

3.4 緊張材のひずみ分布

図-5(a)～(c)に各荷重段階における緊張材のひずみ分布を示す。C 梁では下側緊張材の値を示した。P 梁の比較的小い荷重段階には、支点付近のひずみはほとんど発生していないが、荷重が増加するとひずみ値の急増が見られるようになった。また、低荷重段階で示した右（梁中央）上がりのひずみ分布は、破壊近傍の B 梁や C 梁では見られない。

梁支点上の断面では、外荷重によるモーメントは発生しないので緊張材のひずみも生じないと考えられる。しかし、上記のような結果が得られたのは緊張材の定着切れ、すなわち抜け出しが発生したことを示している。このような緊張材の抜けが発生する荷重を、支点上の緊張材のひずみ値が急増する荷重レベルと仮定すると、A 梁で 11～12tonf、B 梁で 7～8tonf、C 梁で 4.5～5.5tonf 程度である。

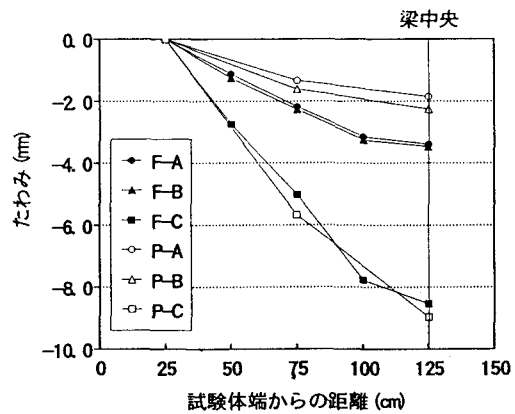


図-4 たわみ分布（荷重 7.0 tonf）

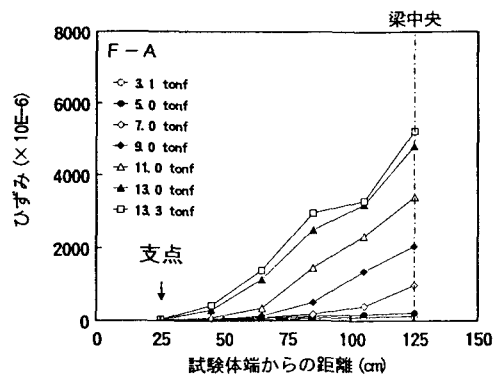
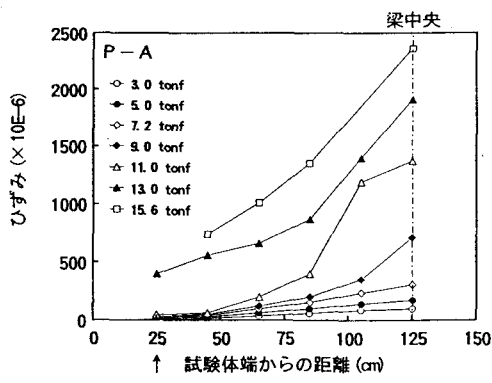


図-5 (a) 緊張材のひずみ分布（A 梁）

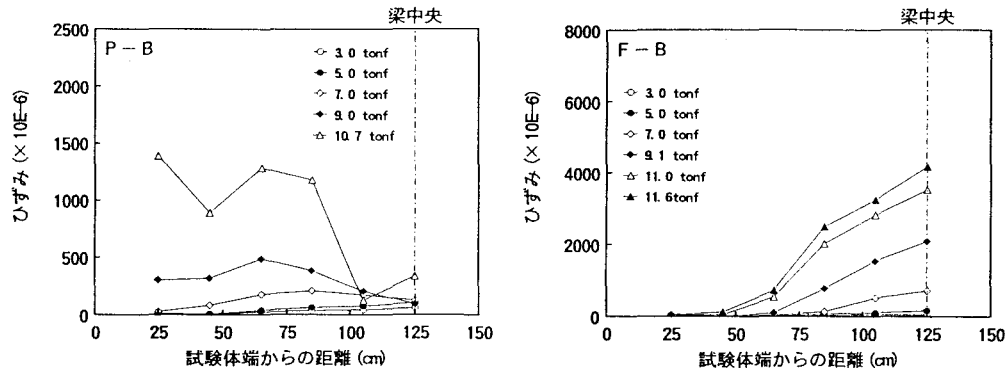


図-5 (b) 緊張材のひずみ分布 (B梁)

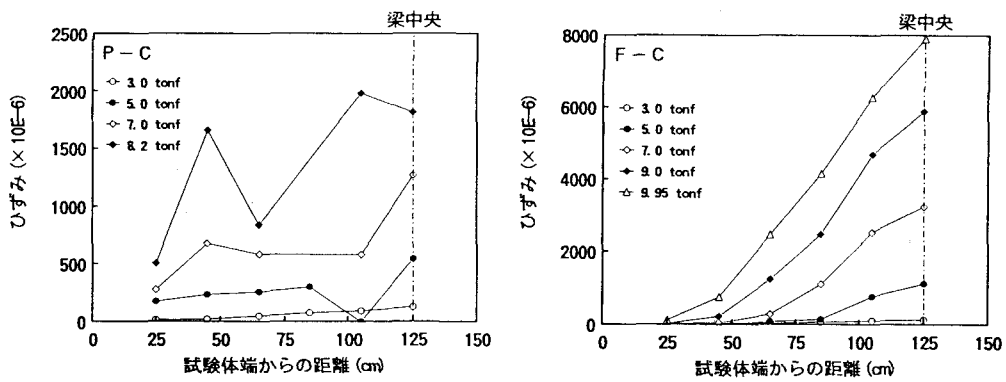


図-5 (c) 緊張材のひずみ分布 (C梁)

一方、F梁は支点付近のひずみ値の急増は見られず、A F R P ロッドの定着切れが発生していないことが分かった。また、右（梁中央）上がりのひずみ分布を破壊時まで示しており、A F R P ロッドとコンクリートの付着が良好であることが確認された。梁中央部のA F R P ロッドのひずみを配置位置の違いで比較すると、いずれの荷重段階でもC梁が最も大きく、A梁、B梁は同程度であった。これは、図-3のたわみ曲線で同じ荷重段階のC梁のたわみ量がA梁、B梁に比べ大きくなることと密接に関係している。また、このような特性をC梁が有しているため、衝撃的な荷重が作用した場合に、衝撃エネルギーを梁の変形で吸収する衝撃吸収性能がA梁、B梁よりも優れていると考えられる。

4. 断面分割法による解析

4. 1 解析方法概要

梁の断面内ひずみ分布及び終局耐力等の解析を積層モデルを用いた逐次計算法により行った。材料モデルとして、スターラップ及び組立筋に使用したD 6とP C鋼より線はコンクリート標準示方書に示される2直線モデル及び3直線モデルを、A F R P ロッドは弾性材料であり降伏点を持たないために単純な1直線モデルを使用した。また、コンクリートは鋼材と同様にコンクリート標準示方書に準じて2次曲線モデルを用いることとしたが、モデル中の降伏ひずみは、材料試験結果より通常の

表-2 解析結果

梁種別	最大荷重 (tonf)		ひびわれ荷重 (tonf)	
	実験値	解析値	実験値	解析値
P-A	15.55	14.06	6.80	6.10
P-B	10.87	11.41	5.75	4.49
P-C	8.15	8.48	3.72	3.57
F-A	13.33	13.63	4.82	6.07
F-B	11.64	9.17	4.22	4.30
F-C	9.95	8.44	3.20	3.33

0.2%ではなく0.25%とした。なお、計算上の破壊基準はコンクリートの圧縮ひずみで0.35%とした。

4. 2 解析結果（荷重－たわみ関係）

表-2に最大耐力及びひびわれ発生荷重の実験値及び解析値をまとめた。また、図-6に各供試体の荷重－たわみ関係の実験値と解析値を示す。P梁では、ひびわれ発生前及び遷移領域では実験値と解析値は比較的よく一致しているが、それ以降は緊張材の抜けによるたわみ量の増加及び耐力の低下が顕著となり、解析値との一致が見られなくなる。P-A、P-C梁では、3.4で推定した緊張材の抜けが発生した荷重と、実験値と解析値にずれが生じ始める荷重はほぼ一致している。一方、F梁ではB、C梁で終局付近を除いて良好な一致を示した。

P-B梁、F-A梁ではひびわれ発生荷重が解析値と実験値で1tonf以上の差があり、ひびわれ発生以降の荷重－たわみ関係も実験値と解析値で大きく異なっている。

ひびわれはプレストレスによって生じた梁下縁の圧縮ひずみが曲げ荷重により解放され、その後生じる引張ひずみが限界ひずみに達して発生する。したがって、断面の条件が同じで限界ひずみの設定が適切であれば、ひびわれ発生荷重の差は導入プレストレス量の差によって生じたものと考えられる。計算した結果、P-B梁ではプレストレス量が所定量よりも約30%多く、F-A梁では所定量よりも約27%少なかったことが推測される。

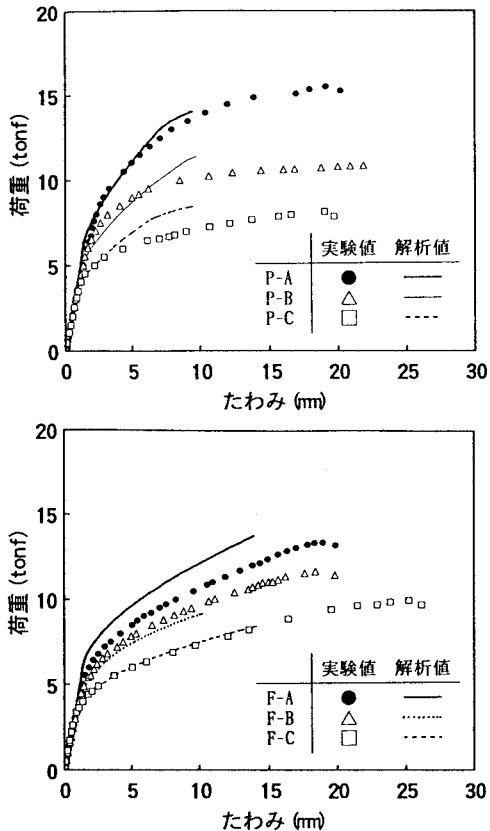


図-6 荷重－梁中央たわみ曲線

5. まとめ

- 1) 緊張材の種類がひびわれ性状に与える影響は少ない。しかし、緊張材の配置によってその性状は異なり、C梁では梁中央付近に大きなひびわれが集中する傾向にあった。
- 2) 緊張材のひずみ分布及び試験後の梁の観察より、P C鋼より線を用いた梁ではいずれも緊張材の定着切れが生じた。一方、A F R Pロッドで定着切れは発生せず、また、良好な付着性状を示した。
- 3) 同じ荷重レベルでF-C梁は緊張材の伸び、梁のたわみ量が最も大きく、このような静的耐荷挙動が衝撃吸収性能を高めていると考えられる。
- 4) 各梁の耐荷挙動を断面分割法を用いて解析した結果、緊張材の抜けがなく、プレストレス量の把握が適切になされた梁であれば、静的耐荷挙動を終局付近を除いて高い精度で推定できることが分かった。

（参考文献）

- 1) 三上 浩・林 寿夫・加藤 正利・田村 富雄：アラミド繊維による組み紐状棒材を用いたP Cばかりの静的耐荷挙動、第10回コンクリート工学年次論文報告集、pp. 665-670、1988.6
- 2) 田村 富雄・三上 浩・岸 徳光・松岡 健一：A F R Pロッドを緊張材に用いたP C梁の衝撃挙動に及ぼす緊張材位置の影響、第15回コンクリート工学年次論文報告集、pp. 929-934、1993.6